

6. ULUSAL  
MAKİNA TEORİSİ SEMPOZYUMU  
Eylül 1993, TRABZON

## İKİ KADEMELİ MEKANİK VE MASURA KONUMU GERİ BESLEMELİ ELEKTRO-HİDROLİK BİR SERVOVALFİN DINAMIĞI

Süleyman KAPUCU ve Sedat BAYSEÇ

Gaziantep Üniversitesi Makina Mühendisliği Bölümü, GAZIANTEP

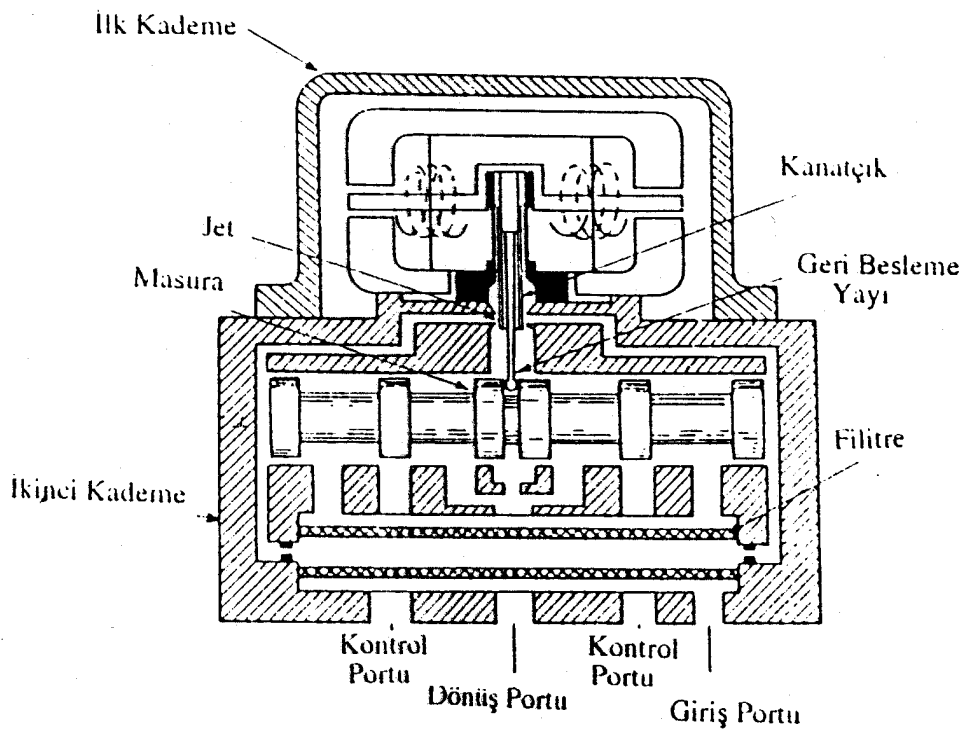
### ÖZET

Bu çalışmada daimi mıknatıslı bir elektrik tork motorunun kumanda ettiği iki jetli bir kanatçıklı valf ve bu valfin kumanda ettiği ikinci bir masuralı valfsten oluşan çok bilinen, klasik yapıda bir servo valfin yapısı, dinamiği ve dinamik özelliklerinin deneysel olarak tesbiti anlatılmaktadır.

### 1. GİRİŞ

Bu valfler genellikle yüksek süratte çalışan servo sistemlerde kullanıldığından başarılı bir uygulama için çalışma limitlerine yaklaşılan zor çalışma şartlarında nasıl davranışının bilinmesi gereklidir. Bunun için sistemin önce yapısının, dinamik hareket denklemlerinin ve sistem parametrelerinin harekete etkisinin bilinmesi gereklidir. Ayrıca akan yağın basınç ve debisi ile valf mekanizmasının dinamik karakteristiginin deneysel olarak belirlenmesi gereklidir. Bu çalışmada bu iki konu irdelenmektede ve örnek test sonuçları sunulmaktadır.

Çok bilinen klasik yapıdaki iki kademeli elektro-hidrolik servo valf şekil 1 de gösterilmiştir. Servo valfin tork motoru daimi mıknatıs ve kutup uçları, elektromağnet bobinleri, ve kanatçığa bağlı armatürden oluşmuştur. Bobinlere elektrik sinyali gönderildiğinde tork motor armatürünün üzerinde bir tork oluşturur. Böylece kanatçık yer değiştirir ve jetlerin akış alanları da değişmiş olur. Bu değişiklik jetlerin arkasındaki basınçların değişimini sağlar. Değişim elektrik akımıyla kontrol edilir. Kanatçık valf ile kontrol edilen basınçlar masuralı valfin her iki ucundaki odacıklara beslenir. Basınçların farkından dolayı masura harekete geçer. Birinci kademe ile ikinci kademe arasındaki geri besleme bir ankastra yayla sağlanır. Bu yayın bir ucu kanatçığa bağlıdır. Diğer ucu ise masuranın üzerindeki kanala girmiştir. Masuranın nötr



*Sekil 1: İki kademeli Elektrohidrolik Servo-Valfin Şematik Gösterimi.*

konumundan hareketi bu yay aracılığı ile armatür üzerinde ters tork yaratır. Bu tork manyetik torka eşit olunca denge konumu sağlanır ve tork motor orijinal konumuna geri gelir. Yağ jetlerinin arkasındaki basınçlar dengelenir ve masuranın hareketi durur. Mekanik olarak valf iki aynı hareketli kütleden oluşmaktadır. Bunlar dönme hareketi yapan kanaatçık-armatür ve öteleme hareketi yapan masuradır. Dinamik hareket denklemleri ise bunların üzerine düşen toplam kuvvet fonksiyonlarının atalet kuvvetlerine eşitlenmesi ile ortaya çıkmaktadır.

## 2.MASURANIN ÜZERİNDEKİ KUVVETLER:

### 2.1. Hidrolik Kontrol Kuvvetleri:

Masuraya etki eden hidrolik kontrol kuvvetlerini kapalı formdaki denklemleri S.Bayseç ve J. Rees Jones [4] tarafından

$$P_1^2(Z_1^2 + Z_2^2 K^2) + P_1 \{ 2[X^2(Z_1^2 - Z_2^2 K^2) - (Z_1^2 + Z_2^2 K^2)(Z_1^2 P_s + Z_2^2 K^2 P_3)] \} + [(X^2 - Z_1^2 P_s)^2 + Z_2^2 K^2 P_3 (Z_2^2 K^2 P_3 + 2X^2 + 2Z_1^2 P_s)] = 0 \quad (1)$$

$$P_2^2(Z_1^2 + Z_2^2 L^2) + P_2 \{ 2[X^2(Z_1^2 - Z_2^2 L^2) - (Z_1^2 + Z_2^2 L^2)(Z_1^2 P_s + Z_2^2 L^2 P_3)] \} + [(X^2 - Z_1^2 P_s)^2 + Z_2^2 L^2 P_3 (Z_2^2 L^2 P_3 + 2X^2 + 2Z_1^2 P_s)] = 0 \quad (2)$$

olarak verilmiştir. Burada

$$Z_1 = C_{d\theta} * (A_r / A_s) * \sqrt{(2/\rho)}$$

$$Z_2 = C_{dr} * \pi * (D_N / A_s) * \sqrt{(2/\rho)}$$

K birinci jet ile kanatçık arasındaki mesafe

L ikinci jet ile kanatçık arasındaki mesafe

$C_{d\theta}$  sabit delik akış katsayısı

$C_{dr}$  jet akış katsayısı

$A_d$  delik alanı

$D_N$  jet çapı

$A_s$  masura kesit alanı

X masuranın nötr konumuna göre pozisyonu

$P_s$  besleme basıncı

$P_3$  jet çıkış basıncı

$\rho$  yağın özgül ağırlığı.

Denklem (1) ve (2) masuraya hareket veren basınçları, kanatçığın nötr konumundan olan uzaklığa ve masura hızına bağlı olarak tanımlanmaktadır.

## 2.2 Bernoulli Kuvvetleri:

Hidrolik güç kaynağından motora ve motordan tanka giden hidrolik yağı, masuranın oluşturduğu boşluklardan geçen masuranın eksenel yönde karşılıklı çeperlerinde oluşturduğu basınç farkından meydana gelen dinamik kuvvetlere Bernoulli kuvvetleri adı verilir. Bu kuvvetin masuranın ekseni boyunca olan bileşeni:

$$F_b = \rho * Q * V * \cos\theta \quad (3)$$

olarak tanımlanmaktadır [1],[2]. Burada

$\theta$  yağ jetinin masura ekseni ile yaptığı açı olup bunun çalışma şartlarının geniş bir bölümünde teorik ve deneysel olarak  $69^\circ$  olduğu gösterilmiştir.

V ise yoğun akış hızıdır.

## 2.3 Geri Besleme ve Sırtlanma Kuvvetleri:

Masura üzerinde, kanatçık-armatür ile arasındaki yayın gerildiğinde uyguladığı bir geri besleme kuvveti ile yağlı yüzeylerin hareket etmesi ile oluşan akışkan sırtlanması kuvvetleri etki eder. Masuranın üzerine etki eden geri besleme ve sırtlanma kuvvetleri:

$$F_g = -k_f * X \quad (4)$$

$$F_d = -c * \dot{X} \quad (5)$$

dir. Burada,

$k_f$  yay sabiti,

c akışkan sürtünme katsayısıdır.

Masuranın bu kuvvetler altında, hareket denklemi

$$\ddot{X} = [(P_2 - P_1) * A_s + F_b + F_s + F_d] / M_s \quad (6)$$

dir. Burada,  $M_s$  masuranın kütlesi dir.

### 3.KANATÇIK ÜZERİNDEKİ TORKLAR

#### 3.1 Manyetik Tork:

Valf tasarımında armatürün tabii mıknatıs kutupları arasındaki hareketi sınırlı tutularak verilen elektrik akımıyla üretilen torkun doğru orantılı olması sağlanır. Manyetik tork:

$$T_m = k_t * i \quad (7)$$

ile ifade edilir. Burada,

$k_t$  tork motoru sabiti,

$i$  kontrol akımıdır.

#### 3.2 Akışkanın Kanateğine Çarpmasından Dolayı Oluşan Torklar:

İki jet tarafından kanateğe uygulanan tork [1],[2]

$$T_h = [(P_1 - P_2) * A_N + 4 * \Pi * C_{dI}^2 * (K^2 * (P_1 - P_3)^2 - L^2 * (P_2 - P_3)^2)] * R_f \quad (8)$$

dir. Burada,

$A_N$  jet kesit alanı,

$R_f$  jet ekseni ile kanatçık arasındaki uzaklıktır.

#### 3.3 Esnek Bağlantı Elemanından Dolayı Oluşan Karşıt Yay ve Sürtünme Torkları:

Kanatçık valfin ıslak ve kuru kısımlarını birbirinden ayıran elastik bir membran içinden geçer. Kanatçığın hareketi ile gerilen elastik membran kanatçık üzerine ters yönde bir elastik tork uygular. Elastik bağlantı elemanından dolayı oluşan tork:

$$T_s = - k_s * \theta \quad (9)$$

dir. Burada,  $k_s$  torsiyonel yay sabitidir.

Kanatçığın sıvı bir ortamda çalışmasından dolayı üzerinde sürekli olarak bir akışkan sürtünme torku vardır:

$$T_d = - c_d * \dot{\theta} \quad (10)$$

Burada,  $c_d$  akışkan sürtünme sabitidir.

Tüm bu torkların etkisi altında kanatçık valfinin hareket denklemi:

$$\ddot{\theta} = (T_m + T_h + T_s + T_d) / I_f \quad (11)$$

dir.  $I_f$  kanatlığın kütlesel atalet momentidir.

#### 4.BİR SERVOVALİN DINAMİK KARAKTERİSTİKLERİNİN DENEYSEL OLARAK BELİRLENMESİ

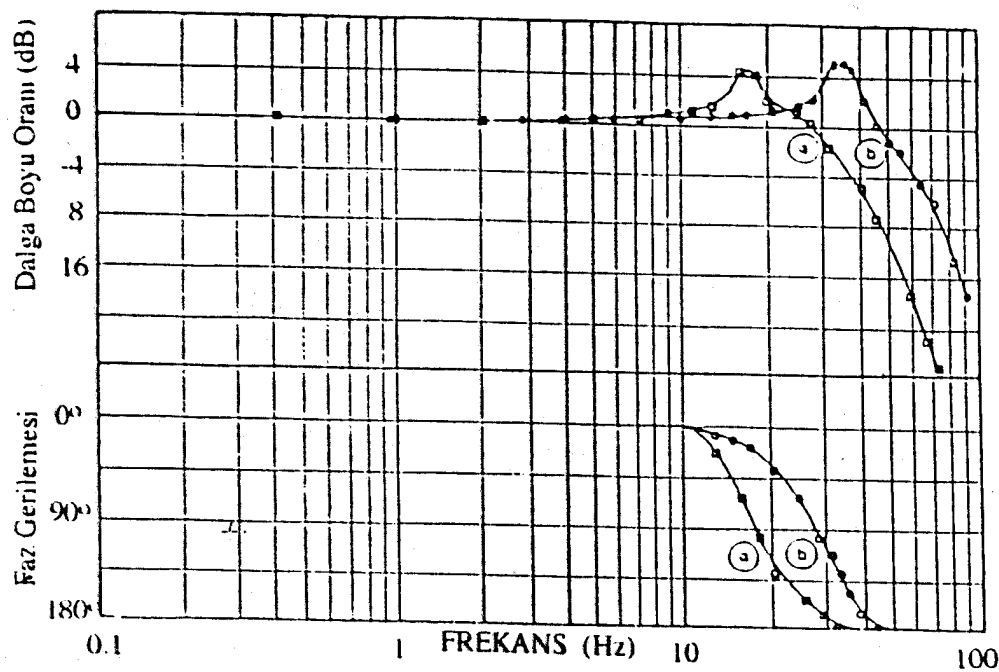
Valflerin dinamik özellikleri ve davranışı kumanda ettikleri mekanik sistemlerin dinamiğine etki ettiğinden çok önemlidir. Bir hidrolik servovalfin dinamik özellikleri:

- a) Sıfır kontrol yükünde frekans tepkisi ve faz gerilemesi,
  - b) Sonsuz kontrol yükünde basınç-elektrik kontrol akımı fonksiyonu,
  - c) Basınç-elektrik kontrol akımı-yağ debisi fonksiyonu,
- ile belirlenir. Bu çalışmada Gaziantep Üniversitesi Laboratuvarlarında imal edilmiş olan bir servovalfin dinamik özellikleri deneysel olarak saptanarak sunulmaktadır.

##### 4.a) Frekans Tepkisi ve Faz Gerilemesi:

Frekans tepkisi valfin değişik süratlerde uygulanan kontrol sinyallerine ne derecede uyabildiğini gösterir. Genellikle kontrol sinyali olarak sintetik dalgası kabul edilir. Servovalfin frekans tepkisi içinde bu deneyde bir fonksiyon üreticisinden elde edilen sabit genlikte bir sinüs dalgası kullanılmıştır. Elde edilen voltaj çıktıları güç yükselticisinde akıma çevrilerek tork motoruna verilmiştir. Masuranın her iki ucuna yerleştirilen induktif tip temassız konum duyarları ile masuranın konumu dinamik olarak gözlenmiştir. Fonksiyon üreticisinin ve konum duyarlarının çıktıları çift hizmetli osilaskoptan aynı anda kaydedilerek, bunlardan dalgaların genliği ve faz farkı direkt olarak ölçülmüştür. Test değişik frekanslarda tekrarlanarak Şekil 2'de görülen sonuçlar elde edilmiştir.

Deneyi yapılan servo valfin çalışma aralığı tam akım uygulandığında 18 Hertz olmaktadır. Doğal olarak akım azaldığında valfin çalışma aralığıda artmaktadır (Şekil 2). Piyasada satılan valflerle karşılaştırıldığında, imali sınırlı olanaklarla yapılan bu valfin çalışma aralığının iyi olduğu görülmektedir. Deney 80 Herz'e kadar yapılmış ve bu aralığa kadar sadece bir rezonans görülmüştür. Bu masurallı valfin rezonansıdır. Kanatçık valfin ve tork motorunun rezonans değerleri daha yüksektir ve bu aralıktaki gözlenmemiştir. Rezonansta dalga boyu oranı 4 dB'e ulaşmaktadır. Genellikle sistemlerin kritik sökümlenmiş kataloglardaki verilen frekans tepkisi eğrileriyle elde edilen eğri karşılaştırıldığında her ikisinde frekans karakteristiğinin benzediği görülmektedir. Deneyler kontrol uçları yüksüz bir hidrolik silindire bağlı iken yapılmıştır.



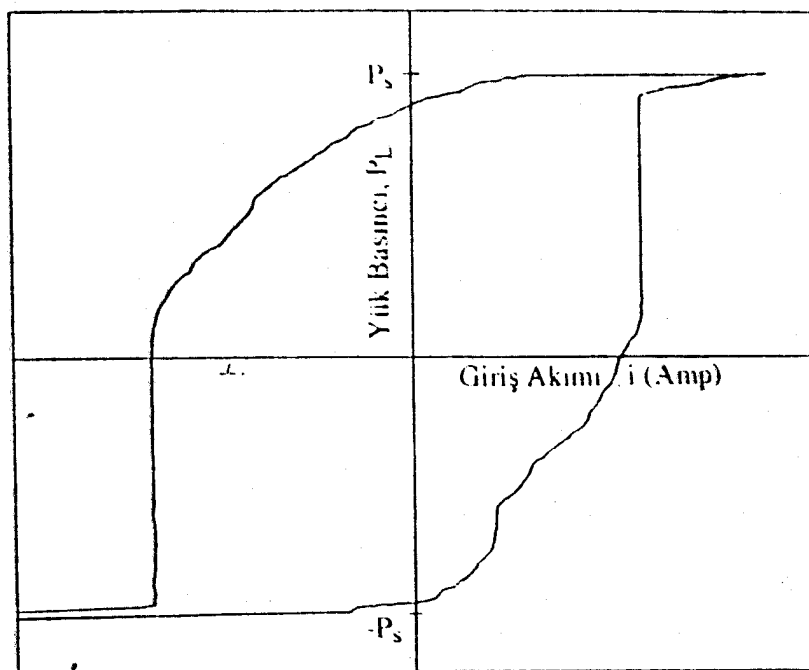
*Şekil 2: Servovalfin frekans tepkisi ve faz gerilemesi*

- a) *Kontrol sinyali maximum*
- b) *Kontrol sinyali 0.5\*maximum.*

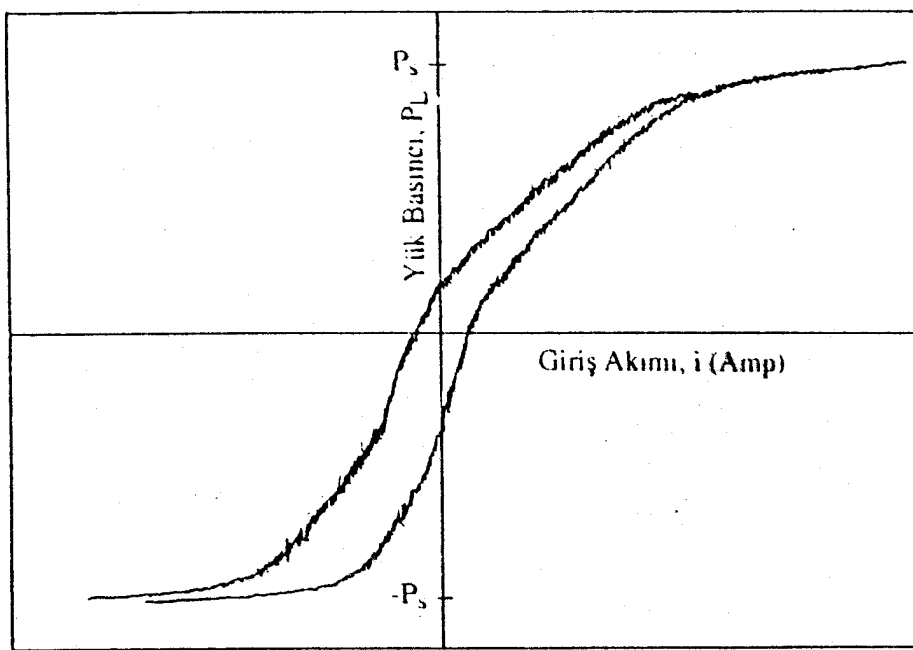
#### 4.b) Basınç-Elektrik Kontrol Akımı Fonksiyonu:

Masuranın gömlek içindeki hareketi basınç debi ilişkisini belirler. Masuranın konumunun bilinmesi basınç-debi ilişkisinin tam olarak belirlenmesini sağlar. Masuranın öncü iki dinamik sistemle kontrol edilmesinden dolayı, üzerinde direkt kontrol imkanı yoktur. Masuranın verilen akımla doğru orantılı hareket etmesi istenilir. Yağ akışının yön değiştirmesi Bernoulli kuvvetlerinin değişmesine sebep olacağı için masuranın konumu istenilen konumdan daha değişik bir konuma geçer. Dolayısı ile tüm öncü dinamik sistemlerin etkilerini de içine alacak şekilde yük basıncına karşılık elektrik kontrol akımı değerlerinin elde edilmesi servo valfin dinamik davranışını bakımından daha gerçekçi bir yaklaşımdır. Şekil 3'de kontrol portlarının kapalı konumdağı yük basıncına karşılık elektrik akımını göstermektedir. Masuranın üzerindeki basınç farklılıklarından dolayı sürtünme artmaka masuranın gömlek cidarına yaptığı görülmektedir. Şekil 3'de görülen değişik noktalardaki düşey çizgiler bu yapışmadan kaynaklanmaktadır. Kontrol portlarının kapalı olmasından dolayı debi akışı olmamaktadır. Ancak valfin içindeki kaçaklardan dolayı Bernoulli kuvvetleri oluşturmaktadır. Yön değişimi sırasında bu kuvvetlerin çok etkili olması sonucu şekil 3'de görüldüğü gibi masura kontrol dışına çıkmaktadır. Masuranın gömleğe yapışmasını engellemek için, genellikle çok küçük dalgaboylarında bir sinüs dalgası, kontrol dalgasının üzerine eklenir ve bu sinyal sistemin davranışını düzenler. Şekil 4 ve 5'da kontrol sinyali üzerine dalgaboyları çok küçük,

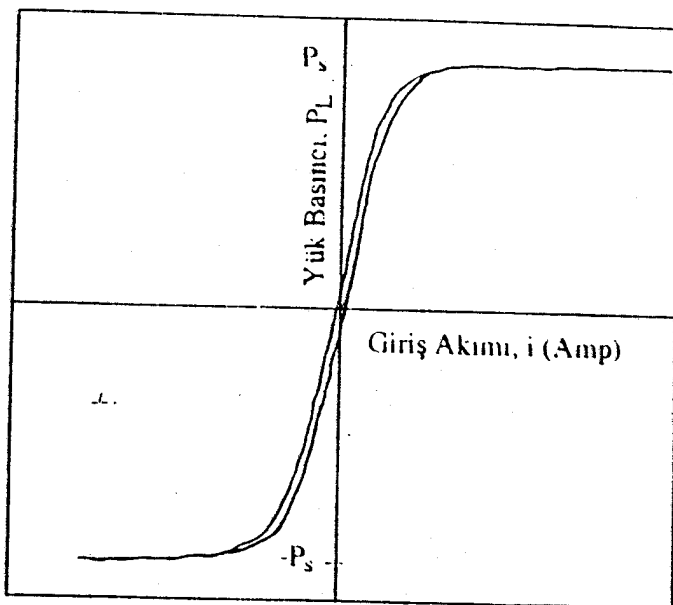
frekansları 50 ile 32 Hertz olan sinyaller verilerek elde edilen kapalı port karakteristiklerinin iyileştiği görülmektedir.



Şekil 3: Basınç-Kontrol Akımı Fonksiyonu. Bu deneyde masuranın gömleğe yapışığı ve hareketinin kontrol edilemediği görülmektedir.



Şekil 4: Basınç-kontrol akımı fonksiyonu. Bu deneyde masuranın yapışmasını önlemek için kontrol akımı üzerine 50 Hertz gürültü sinyali eklenmiştir.

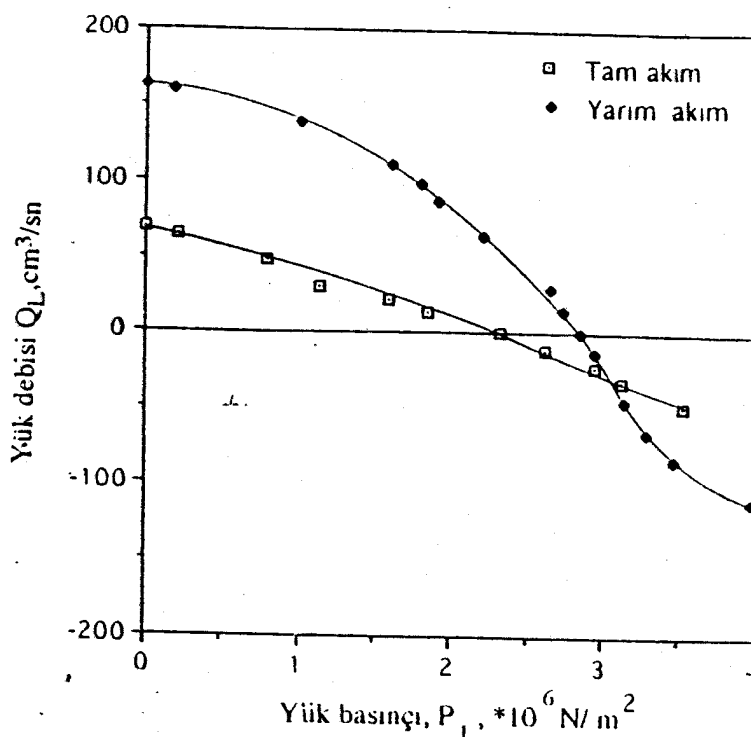


*Şekil 5: Basınç-kontrol akımı fonksiyonu. Bu deneyde masuranın yapışmasını önlemek için kontrol akımı üzerine 32 Hertz gürültü sinyali eklenmiştir. Yapışmanın tamamen ortadan kalktığı görülmektedir.*

#### 4.c) Basınç-Elektrik Kontrol Akımı-Yağ Debisi Fonksiyonu

Servovalfin statik davranışını değişik kontrol sinyaline karşılık gelen basınç-debi eğrileri ile de incelenir. Şekil 6'de tam ve yarım kontrol akımının girişine karşılık basınç-debi değişimi verilmiştir. Şekilden de görüldüğü gibi basınç debi davranışının paraboliktir.

1. Şekilde görüldüğü üzere, sıfır yük basıncında debi ve elektrik kontrol akımı birbiri ile doğru orantılı olup orantı katsayısına akım kazancı denir. Akım kazancının sabit çıkması üç ayrı dinamik sistemlerden oluşan valsten masura kanunu üzerinde başarılı bir konum kontrolü olduğunu göstermektedir.
2. Sıfır kontrol debisinde yani kontrol yükünün sonsuz olup kontrol portları arasında hiç akım olmaması durumunda kontrol basıncının besleme basıncına eşit olması gereklidir. Ancak valf içindeki yağ kaçaklarından dolayı sıfır kontrol debisinde besleme basıncından daha küçük bir basınçta ulaşılır. Tüm parabolik eğrilerin birbiri ile kesiştiği yük basıncının besleme basıncına eşit olduğu noktada ise bir miktar negatif yağ akımı vardır. Bu negatif yağ akımı valf içindeki kaçaklardır. Bu kaçak yağ akımı akım laminer ise yük basıncı ile doğru orantılı türbüulent ise yük basıncının karakökü ile doğru orantılıdır.



Şekil 6: Servovalfin Basınç-Kontrol Akım-Debi Karakteristiği.

#### SONUÇ:

Hidrolik valfler imalatları yüksek teknoloji gerektiren, yüksek hızlı kontrol sistemlerinin en önemli parçalarıdır. Servo valflerin içerisinde meydana gelen olaylar fiziksel ve matematiksel olarak karmaşık gibi görünse de deneyel verilerle oluşan empirik bağlantılar kullanılarak mühendislik amaçlarına uygun çalışmalar için yeterli duyarlılıkta sonuçlar alınabilmekte ve tasarımlar yapılabilmektedir. Deneyel veriler servovalfin tasarımını ve geliştirilmesinde önemli bir adımı oluşturmaktadır. Bu çalışmada temel tasarım kriterlerine göre imal edilen valfin dinamik karakteristikleri deneyel olarak elde edilip sunulmuştur.

#### KAYNAKLAR

1- Hydraulic Control Systems,

Herbert E. Merrit, John Wiley and Sons Inc. ISBN 0 4721 59617 5, 1967.

2- Fluid Power Control,

Blackburn, J.F., G.Reethof, and J.L. Shearer, Technology Press of M.I.T and Wiley, 1960.

3- Simulation of the Dynamics of Hydraulically Actuated Planar Manipulators,  
S. Bayseç, Ph.D. Thesis, Liverpool Polytechnic.-1983.

4 An Improved Model of an Electrohydraulic Servovalve,  
S. Bayseç, and J.Rees Jones, 7'th International IFTOMM Congress, Sevilla,-1987

5- The Dynamic Characteristics of an Electrohydraulic Servovalve,  
D.J. Martin, G.R.Burrows,ASME, Journal of Dynamics Systems,Measurements and  
Control, December 1976., pp 395-406.